

# ФОТОДЕТЕКТИРОВАНИЕ СЛАБОГО СИГНАЛА С ИСПОЛЬЗОВАНИЕМ ЛАЗЕРНОГО УСИЛИТЕЛЯ

*A. B. Козловский\**

*Физический институт им. П. Н. Лебедева Российской академии наук  
119991, Москва, Россия*

Поступила в редакцию 20 июля 2004 г.

Анализируется процесс фотодетектирования слабых и ультраслабых световых сигналов, усиливаемых с помощью лазерных усилителей света. Рассмотрен линейный усилитель и усилитель четырехвольнового смешения. Для источников света с различными квантово-статистическими свойствами рассчитаны распределения фотоэлектронов для широкого диапазона коэффициентов усиления. Рассчитаны и анализируются отношения сигнал/шум при линейной и четырехвольновой схемах предуслаждения. Расчет показал, что необходимое для уверенного фотодетектирования слабых сигналов отношение сигнал/шум (намного больше единицы) достичмо лишь в случае четырехвольновой схемы предуслаждения и качественно зависит от квантово-статистических свойств сигнальной и холостой волн.

PACS: 42.50.Ar, 42.60.Da, 42.65.Sf

## 1. ВВЕДЕНИЕ

Исследования в области современной квантовой оптики предполагают возможность точного измерения среднего числа и флуктуаций числа фотонов слабых и ультраслабых электромагнитных полей, содержащих порядка одного фотона. Используемые для этих целей лавинные фотодетекторы вследствие случайного характера усиления слабого фототока, вносят в результат измерения существенный дополнительный шум.

В настоящее время проводятся интенсивные экспериментальные исследования с целью создания новых фотодетекторов, позволяющих регистрировать ультраслабые сигналы. Однако уже существующие однофотонные детекторы (см., например, работы [1–3]) обладают необходимой чувствительностью, квантовой эффективностью и временным разрешением лишь в узких спектральных диапазонах. Кроме того, ввиду дополнительного шума, вносимого внутренним усилением, разрешение таких детекторов значительно превышает величину одного фотона и не позволяет точно измерить число фотонов в сигнале. Вследствие этого в экспериментах по созданию и использованию однофотонных источ-

ников света применяется схема интерферометра интенсивностей Хенбери-Брауна – Твисса, при которой информация о числе фотонов, излучаемых источником, извлекается путем анализа корреляционной функции интенсивности поля, поскольку прямое фотодетектирование таких ультраслабых сигналов не позволяет точно определить распределение и среднее число фотонов [3].

Использование метода предуслаждения с помощью лазерных усилителей света позволяет исключить этап усиления фототока, используемый в наиболее широко распространенных лавинных фотодетекторах, обладающих высокой квантовой эффективностью, и тем самым исключить погрешность эксперимента, связанную с «динодными» шумами, возникающими на этом этапе. Тем самым повышается детектирующая способность приемника.

Применение лазерного усиления света может также оказаться полезным в системе оптической связи в целях компенсации потерь при распространении в световоде.

Линейный лазерный усилитель вносит дополнительные шумы, возникающие вследствие спонтанного излучения в активной среде, что приводит к уменьшению отношения сигнал/шум для измеряемой величины. Для сигнала в когерентном состоянии при большом усилении отношение сигнал/шум

---

\*E-mail: kozlovsk@sci.lebedev.ru

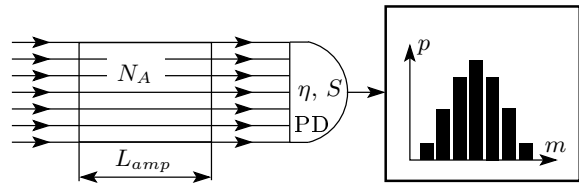
понижается в два раза [4]. Квантовый анализ возможности применения линейного усилителя для предусиления измеряемого фотодетектором светового сигнала проведен в настоящей работе для случая слабого сигнала в различных квантовых состояниях с целью определения пределов применимости метода прямого фотодетектирования с предусиением.

Использование фазово-чувствительных усилителей света в схеме параметрического усиления сигнала представляет собой перспективное направление в области квантовых прецизионных измерений оптических сигналов, поскольку в этом случае, в отличие от линейного лазерного усилителя, реализуется режим «бесшумового» усиления сигнала, при котором исходное отношение сигнал/шум не изменяется при усилении сигнала [4]. Эффективность параметрического усиления с одноволновой накачкой удвоенной частоты для регистрации когерентного сигнала продемонстрирована в настоящее время экспериментально [5] с использованием среды с квадратичной нелинейностью.

Другим методом усиления слабого сигнала, рассмотренным в настоящей работе, является процесс нелинейного четырехвольнового смешения света в среде с кубической нелинейностью. Как средство повышения отношения сигнал/шум в этом случае может служить холостая волна, участвующая в четырехвольновом смешении. Использование холостой волны с определенными квантово-статистическими свойствами позволяет уменьшить степень деградации сигнала до приемлемого для последующего измерения уровня.

## 2. ФОТОДЕТЕКТИРОВАНИЕ СИГНАЛА, УСИЛИВАЕМОГО С ПОМОЩЬЮ ЛИНЕЙНОГО ЛАЗЕРНОГО УСИЛИТЕЛЯ

На рис. 1 изображена рассмотренная нами схема прямого фотодетектирования излучения, усиленного с помощью лазерного усилителя. Квазимохроматический поток фотонов, прошедший через усилитель, поступает на фотодетектор. Проведение последовательности измерений фототока позволяет определить распределение фотоэлектронов, непосредственно связанное с вероятностной функцией распределения числа фотонов поля. Отметим, что распределение фотоэлектронов в общем случае не совпадает с распределением фотонов поля на входе фотодетектора. В настоящей работе нами рассматривается одномодовый режим счета фотонов, имеющий место при условии малости времени одиночно-



**Рис. 1.** Схема фотодетектирования квазимохроматического сигнала с предварительным усилением его с помощью линейного лазерного усилителя,  $N_a$  — число активных атомов среды,  $L_{amp}$  — длина усилителя, PD — фотодетектор

го измерения числа фотонов по сравнению со временем когерентности поступающего на вход усилителя излучения (т. е. величины, обратной ширине спектра излучения):  $T \ll \tau_{coh}$ . Кроме того, предполагается, что в режиме одномодового фотосчета площадь фотодетектора  $S$  меньше площади пространственной когерентности излучения,  $S \ll S_{coh}$ . Такие условия соответствуют приближению плоской квазимохроматической волны, поступающей на вход усилителя света.

Распределение фотоэлектронов многоатомного широкополосного фотодетектора для времени измерения  $T$  может быть получено в рамках временной теории возмущений [6, 7], и может быть записано в следующем виде:

$$p(m, T) = \langle : \Omega^m e^{-\Omega} : \rangle / m! = \\ = \text{Sp} (\rho(a, a^\dagger) : \Omega^m e^{-\Omega} :) / m! \quad (1)$$

где  $\rho(a, a^\dagger)$  — оператор плотности электромагнитного поля, поступающего на поверхность фотодетектора,  $: \dots :$  означает операцию нормального упорядочения операторов рождения ( $a^\dagger$ ) и уничтожения ( $a$ ) поля, а оператор  $\Omega$  есть

$$\Omega = \varepsilon \int_0^T a^\dagger(s) a(s) ds, \quad (2)$$

где  $\varepsilon$  — эффективный параметр, характеризующий чувствительность детектора. Среднее число фотоотсчетов в этом случае есть

$$\langle m \rangle = \sum_{m=0}^{\infty} mp(m, T), \quad (3)$$

при этом также имеем

$$\langle \Omega \rangle = \varepsilon \int_0^T \langle a^\dagger(s) s(a) \rangle ds = \langle m \rangle. \quad (4)$$

Если в течение времени измерения  $T$  среднее число отсчетов постоянно, то  $\langle m \rangle = \varepsilon \langle a^\dagger a \rangle T$ .

Поскольку в уравнении (1) оператор, находящийся под знаком квантового среднего, записан в нормально-упорядоченной форме, взятие среднего может быть осуществлено с помощью функции квазивероятности, являющейся диагональным представлением оператора плотности в базисе когерентных состояний  $|\alpha\rangle$ . В результате для распределения фотоэлектронов получаем [6, 7]

$$p(m, T) = \int P(\alpha) \frac{(\varepsilon T |\alpha|^2)^m}{m!} \exp(-\varepsilon T |\alpha|^2) d^2\alpha, \quad (5)$$

считая, что  $\langle |\alpha|^2 \rangle = \langle a^\dagger a \rangle$ .

Входящая в выражение (5) функция квазивероятности Глаубера–Сударшана,  $P(\alpha)$ , определенная в фазовом пространстве  $\{\alpha_{\text{Re}}, \alpha_{\text{Im}}\}$ ,  $\alpha = \alpha_{\text{Re}} + i\alpha_{\text{Im}}$  связана с оператором плотности поля:

$$\rho(a^\dagger, a) = \frac{1}{\pi} \int d^2\alpha P(\alpha) |\alpha\rangle \langle \alpha|. \quad (6)$$

Отметим, что  $\langle |\alpha|^2 \rangle$  и  $\langle a^\dagger a \rangle$  есть число фотонов в объеме квантования  $V_q = SL$ ,  $L = cT$ . Квантовая эффективность  $\eta$  фотодетектора удовлетворяет соотношению  $0 \leq \eta \leq 1$  и определяется согласно выражению  $\varepsilon T = \eta$  в предположении, что время измерения меньше времени когерентности поля. Можно показать, что среднее число фотоэлектронов  $\langle m \rangle$  связано со средним числом фотонов  $\langle n_a \rangle$  излучения, выходящего из лазерного усилителя следующим соотношением:

$$\langle m \rangle = \eta \langle n_a \rangle, \quad (7)$$

а флуктуации числа фотоэлектронов выражаются через флуктуации числа фотонов:

$$\begin{aligned} \langle (\Delta m)^2 \rangle &= \langle m \rangle (1 - \eta) + \eta^2 \langle (\Delta n_a)^2 \rangle = \\ &= \eta(1 - \eta) \langle n_a \rangle + \eta^2 \langle (\Delta n_a)^2 \rangle. \end{aligned} \quad (8)$$

Отношение сигнал/шум фотодетектирования в этом случае имеет вид

$$R = \frac{\langle m \rangle^2}{\langle (\Delta m)^2 \rangle}. \quad (9)$$

Используя соотношения (7) и (8), находим

$$R = \frac{\langle n_a \rangle^2}{\frac{1-\eta}{\eta} \langle n_a \rangle + \langle (\Delta n_a)^2 \rangle}. \quad (10)$$

Чтобы рассчитать  $R$ , воспользуемся линейной теорией лазерного усилителя и найдем в этих условиях входящие в выражение (10) средние величины. В

линейном по полю приближении применим модель активной среды двухуровневых атомов, частоты переходов которых близки по величине к частоте поля. Уравнение движения для оператора уничтожения квазимохроматического поля в лазерном усилителе в этом случае имеет следующий вид:

$$\begin{aligned} \frac{\partial \rho}{\partial t} &= \frac{\kappa}{2} [N_\uparrow (2a^\dagger \rho a - aa^\dagger \rho - \rho aa^\dagger) + \\ &+ N_\downarrow (2a \rho a^\dagger - a^\dagger a \rho - \rho a^\dagger a)]. \end{aligned} \quad (11)$$

В уравнении (11) использованы следующие обозначения:

$$\kappa \equiv \frac{2g^2}{\Gamma}, \quad g = d_{\downarrow\uparrow} \sqrt{\frac{2\pi\omega_{\uparrow\downarrow}}{\hbar V_q}}, \quad (12)$$

$d_{\downarrow\uparrow}$  — матричный элемент оператора дипольного момента атома для перехода из нижнего состояния  $|\downarrow\rangle$  в верхнее энергетическое состояние  $|\uparrow\rangle$ ,  $\omega_{\uparrow\downarrow}$  — частота перехода атома,  $V_q$  — объем квантования,  $\Gamma$  — скорость спонтанных переходов в атоме, величины  $N_\uparrow$  и  $N_\downarrow$  представляют собой населенности соответственно верхнего и нижнего энергетических уровней лазерного перехода. Найдем с помощью уравнения (11) средние значения  $\langle n_a \rangle$  и  $\langle (\Delta n_a)^2 \rangle$  для поля на выходе лазерного усилителя. С этой целью запишем в общем виде уравнения движения для средних от операторов  $Q = a, a^\dagger, a^\dagger a, (a^\dagger a)^2$ :

$$\frac{\partial \langle Q \rangle}{\partial t} = \text{Sp} \left( \frac{\partial \rho}{\partial t} Q \right). \quad (13)$$

Используя выражения (11), (12), в результате решения уравнения (13) находим

$$\langle n_a \rangle = |G|^2 \langle n \rangle_{in} + \mu, \quad (14)$$

где

$$\mu = \frac{N_\uparrow}{D} (|G|^2 - 1), \quad (15)$$

— среднее число спонтанно излученных в усилителе фотонов, а  $\langle n \rangle_{in}$  — среднее число фотонов на входе усилителя.

Флуктуации числа фотонов поля на выходе усилителя выражаются через средние величины  $\langle n \rangle_{in}$ ,  $\langle (\Delta n)^2 \rangle_{in}$  [8]:

$$\begin{aligned} \langle (\Delta n_a)^2 \rangle &= \\ &= \{ \langle (\Delta n)^2 \rangle_{in} + u (1 - |G|^{-2}) - v \} |G|^4 + v, \end{aligned} \quad (16)$$

где

$$u = \frac{N_\uparrow + N_\downarrow}{D} \left( \langle n \rangle_{in} + \frac{N_\uparrow}{D} \right), \quad (17)$$

$$v = \frac{N_\uparrow N_\downarrow}{D^2}. \quad (18)$$

Выражение для коэффициента усиления лазерного усилителя имеет вид

$$G = \exp \{(\kappa D/2 - i\omega_{\uparrow\downarrow} T_{amp})\},$$

где  $D = N_{\uparrow} - N_{\downarrow}$  — инверсия населеностей, поддерживаемая накачкой,  $T_{amp} = L_{amp}/c_m$  — время уси-

ления, где  $L_{amp}$  — длина усилителя,  $c_m$  — скорость света в активной среде усилителя.

Подставляя соотношения (14)–(18) в уравнение (10), найдем выражение для отношения сигнал/шум:

$$R = \frac{(|G|^2 \langle n \rangle_{in} + \mu)^2}{\frac{1-\eta}{\eta} [|G|^2 \langle n \rangle_{in} + \mu] + \left\{ \left[ \langle (\Delta n)^2 \rangle_{in} + \frac{N}{D} (1 - |G|^{-2}) \langle n \rangle_{in} \right] |G|^4 + \mu(\mu + 1) \right\}}, \quad (19)$$

где  $N = N_{\uparrow} + N_{\downarrow}$ . Квазивероятностная функция распределения поля на выходе усилителя связана с функцией распределения поля на входе (см., например, [1]):

$$P_{out}(\alpha, t) = \frac{1}{\pi\mu} \int d^2\alpha' P_{in}(\alpha') \exp \left( -\frac{|\alpha - G\alpha'|^2}{\mu} \right). \quad (20)$$

В дальнейших расчетах будут рассмотрены следующие состояния входного (измеряемого) поля:

$$P(\alpha', t=0) \equiv P_{in}(\alpha') = \begin{cases} \delta(\alpha'), \text{ вакуумное состояние } |0\rangle, \\ \delta(\alpha' - \alpha_0), \text{ когерентное состояние } |\alpha_0\rangle, \\ \frac{1}{\pi\langle n \rangle_T} \exp \left( -\frac{|\alpha'|^2}{\langle n \rangle_T} \right), \text{ тепловое состояние } |T\rangle, \\ \frac{1}{\pi\langle n \rangle_T} \exp \left( -\frac{|\alpha' - \alpha_0|^2}{\langle n \rangle_T} \right), \text{ состояние когерентный сигнал + шум.} \end{cases} \quad (21)$$

Выполняя интегрирование в уравнении (20), на выходе усилителя находим

$$P_{out}(\alpha) = \begin{cases} \frac{1}{\pi\mu} \exp \left( -\frac{\alpha_{\text{Re}}^2 + \alpha_{\text{Im}}^2}{\mu} \right), \\ \frac{1}{\pi\mu} \exp \left\{ \frac{1}{\mu} [-(\alpha_{\text{Re}}^2 + \alpha_{\text{Im}}^2) + 2|G|(\alpha_{\text{Re}0}s_- + \alpha_{\text{Im}0}s_+) - |G|^2(\alpha_{\text{Re}0}^2 + \alpha_{\text{Im}0}^2)] \right\}, \\ \frac{1}{\pi\mu w\langle n \rangle_T} \exp \left[ \frac{|G|^2(s_-^2 + s_+^2)}{\mu^2 w} - \frac{\alpha_{\text{Re}}^2 + \alpha_{\text{Im}}^2}{\mu} \right], \\ \frac{1}{\pi\mu w\langle n \rangle_T} \exp \left\{ \frac{1}{w} \left[ \left( \frac{|G|s_-}{\mu} + \frac{\alpha_{\text{Re}0}}{\langle n \rangle_T} \right)^2 + \left( \frac{|G|s_+}{\mu} + \frac{\alpha_{\text{Im}0}}{\langle n \rangle_T} \right)^2 \right] - \frac{\alpha_{\text{Re}}^2 + \alpha_{\text{Im}}^2}{\mu} - \frac{\alpha_{\text{Re}0}^2 + \alpha_{\text{Im}0}^2}{\langle n \rangle_T} \right\}, \end{cases} \quad (22)$$

где использованы обозначения

$$w = \frac{|G|^2}{\mu} + \frac{1}{\langle n \rangle_T}, \quad (23)$$

$$s_- = \cos(\omega_{\uparrow\downarrow} T_{amp})\alpha_{\text{Re}} - \sin(\omega_{\uparrow\downarrow} T_{amp})\alpha_{\text{Im}}, \quad (24)$$

$$s_+ = \sin(\omega_{\uparrow\downarrow} T_{amp})\alpha_{\text{Re}} + \cos(\omega_{\uparrow\downarrow} T_{amp})\alpha_{\text{Im}}, \quad (25)$$

где  $\alpha_0 = \alpha_{\text{Re}0} + i\alpha_{\text{Im}0}$  — когерентный сигнал,  $T_{amp} = L_{amp}/c_m$ . Для того чтобы воспользоваться для дальнейших расчетов формулой (19), необходимо найти средние значения числа фотонов, а также их дисперсии для всех указанных выше исходных состояний измеряемого поля. Для этих величин получаем

$$\langle n \rangle_{in} = \begin{cases} 0, \\ |\alpha_0|^2, \\ \langle n \rangle_T, \\ |\alpha_0|^2 + \langle n \rangle_T, \end{cases} \quad (26)$$

$$\langle (\Delta n)^2 \rangle_{in} = \begin{cases} 0, \\ |\alpha_0|^2, \\ \langle n \rangle_T^2 + \langle n \rangle_T, \\ |\alpha_0|^2(2\langle n \rangle_T + 1) + \langle n \rangle_T(\langle n \rangle_T + 1), \end{cases}$$

где  $\langle n \rangle_{in}$  — среднее число фотонов входящего в усилитель излучения. Средние значения числа фотонов и их дисперсии теперь могут быть рассчитаны с помощью следующих выражений:

$$\langle n_a \rangle = |G|^2 \langle n \rangle_{in} + \mu, \quad (27)$$

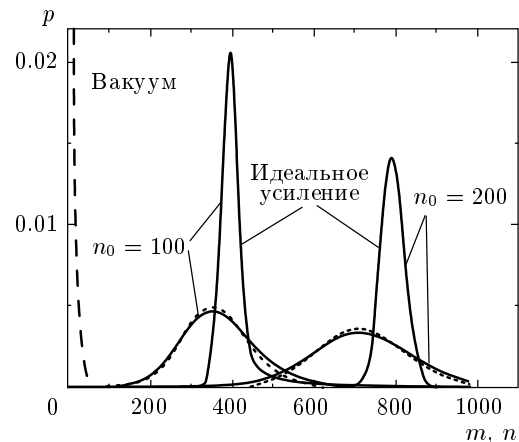
$$\langle (\Delta n_a)^2 \rangle = |G|^4 \langle (\Delta n)^2 \rangle_{in} + |G|^2 (1 - |G|^2 + 2\mu) \langle n \rangle_{in} + \mu(\mu + 1). \quad (28)$$

Квазивероятностная функция распределения поля при идеальном усилении без внесения дополнительных шумов в усиленный сигнал в случае измеряемого поля в когерентном состоянии имеет вид

$$p^{id}(n) = \frac{(|G|^2 \langle n \rangle_{in})^n}{n!} \exp(-|G|^2 \langle n \rangle_{in}).$$

Отметим, что в случае идеального фотодетектора ( $\eta = 1$ ) распределение фотоэлектронов совпадает с распределением фотонов излучения, поступающего на фотодетектор.

На рис. 2 изображены распределения  $p(m)$  фотоэлектронов, рассчитанные с помощью выражений (5) и (22) для больших средних значений числа фотонов в измеряемом поле ( $n_0 \equiv \langle n \rangle_{in} \gg 1$ ) при коэффициенте усиления  $|G| = 2$  и величине инверсии активной среды лазерного усилителя, равной  $D = 20\%$ . Для сравнения на рис. 2 приведены соответствующие распределения  $p(n)$  фотонов (фотоэлектронов) при идеальном усилении, не вносящем дополнительных шумов в исходное когерентное состояние измеряемого поля. Как видно на рис. 2, при  $n_0 = 100, 200$  с увеличением  $n_0$  реальное распределение фотоэлектронов приближается к идеальному и резко отличается от распределения фотоэлектронов для вакуумного входного сигнала (штриховая линия). Как следует из рис. 2, распределение фотоэлектронов для сигнала в когерентном состоянии мало отличается

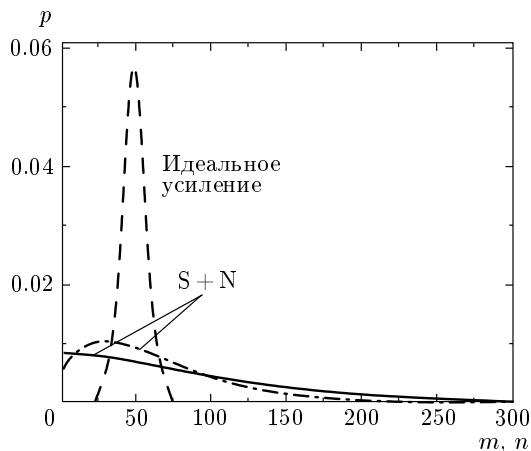


**Рис. 2.** Распределения фотоэлектронов  $p(m)$  при линейном усилении входного сигнала в состоянии когерентный сигнал + шум для значений среднего числа фотонов на входе усилителя  $n_0 = 100, 200$  и  $\langle n \rangle_T = 0.388$ ,  $|G| = 2$ ,  $\eta = 0.9$ , а также в случаях когерентного сигнала (пунктир) и вакуумного состояния на входе (штрихи). Для сравнения изображены распределения фотоэлектронов при идеальном усилении для тех же значений  $n_0$ . Инверсия населенности активной среды лазерного усилителя составляет  $D = 20\%$

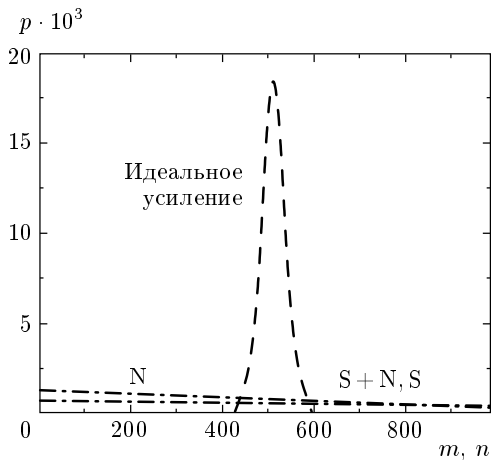
от соответствующего распределения для статистической смеси сигнал + шум, и это различие уменьшается с ростом  $n_0$ . Таким образом, достоверное измерение сигнала в когерентном состоянии или в состоянии сигнал + шум (соответствующего выбранным нами для расчета параметрам теплового поля излучения Солнца) возможно в случае большого числа фотонов в измеряемом сигнале.

На рис. 3 изображены распределения фотоэлектронов в реальных и идеальных условиях для случая малого среднего числа фотонов в измеряемом поле ( $n_0 = 3$ ). Как следует из рисунка, распределение при реальном усилении качественно отличается от распределения при идеальном усилении вследствие большого шума, вносимого спонтанным излучением в лазерном усилителе. Детектируемое в единичном измерении число электронов с близкой по величине вероятностью может принимать значение как 0, так и значение  $\sim 100$ , вследствие чего для измерения числа фотонов в сигнале необходимы в данном случае тысячи и десятки тысяч повторных актов фотодетектирования.

Как показывают расчеты, увеличение инверсии населенности активной среды лазерного усилителя заметно улучшает точность измерения. На

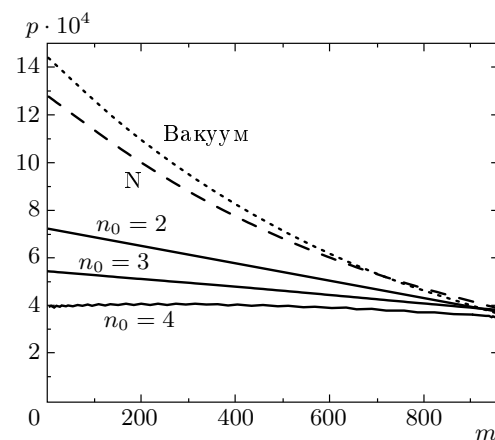


**Рис.3.** То же, что на рис. 2 при  $n_0 = 3$ ,  $|G| = 4$ . Штрихпунктирной линией изображено распределение фотоэлектронов для входного сигнала в состоянии когерентное поле + шум ( $S + N$ ) при  $D = 98\%$



**Рис.4.** То же, что на рис. 3, на выходе усилителя для состояния когерентный сигнал + шум ( $S + N$ ) при  $|G| = 16$ ,  $\langle n \rangle_T = 0.388$ ,  $n_0 = 2.388$ ,  $\langle (\Delta n_0)^2 \rangle = 4.092$ ,  $R = 1.16$ , а также когерентный сигнал ( $S$ ) при  $n_0 = 2$ ,  $R = 1.19$  и тепловой шум ( $N$ ) при  $\langle n \rangle_T = 0.388$

рис. 3 приведены распределения фотоэлектронов для  $D = 20\%$  и  $98\%$ . На рис. 4 показаны зависимости  $p(n)$  и  $p(m)$  для случая большего усиления,  $|G| = 16$ , и малого числа фотонов. Для сравнения приведены распределения фотоэлектронов для когерентного сигнала ( $n_0 = 2$ ), состояния сигнал + тепловой шум ( $n_0 = 2.388$ ,  $T = 6000$  K,  $\omega = 10^{15}$  с $^{-1}$ ) и теплового шума ( $n_0 = 0.388$ ). Как следует из рисунка, выделение сигнала на фоне шума возможно



**Рис.5.** Сравнение распределений фотоэлектронов для  $|G| = 16$  и следующих состояний входного сигнала: когерентный сигнал + шум при  $n_0 = 2, 3, 4$  и соответственно  $R = 1.16, 1.283, 1.42$ , тепловой шум ( $N$ ),  $R = 0.999$  и вакуумное поле,  $R = 0.999$

лишь при крайне высокой точности измерения фототока и большом числе повторных измерений, проведение которых необходимо для формирования статистического распределения. Зависимости  $p(m)$ , представленные на рис. 5 в случае малого числа фотонов в детектируемом сигнале и большого усиления, при больших значениях  $m$  отличаются друг от друга крайне незначительно. В то же время они близки по величине к распределению фотоэлектронов для входного поля в вакуумном или шумовом состоянии, что в реальных условиях эксперимента делает практически невозможным точное измерение таких слабых полей.

На рис. 6 показана зависимость отношения сигнал/шум ( $S/N$ ) от величины коэффициента усиления для различных значений среднего числа фотонов в измеряемом поле. Как следует из рисунка, отношение сигнал/шум не зависит от величины коэффициента усиления уже для значений  $|G| \approx 3$  и при малых значениях  $n_0 \sim 1$  оказывается чрезвычайно малым, не превышая значения, равного двум. При увеличении среднего числа фотонов в измеряемом поле отношение сигнал/шум монотонно возрастает.

### 3. УСИЛЕНИЕ В СХЕМЕ ЧЕТЫРЕХВОЛНОВОГО СМЕШЕНИЯ

На рис. 7 изображена схема, позволяющая усиливать слабый сигнал методом четырехволнового сме-

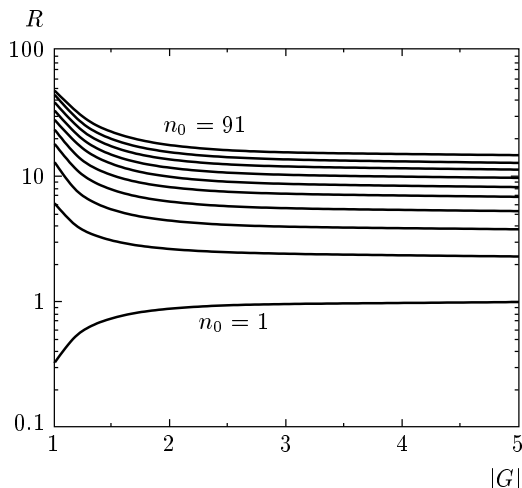


Рис. 6. Зависимость отношения сигнал/шум от величины модуля коэффициента усиления при линейном усилении сигнала,  $n_0 = 1, 11, 21, \dots, 91$

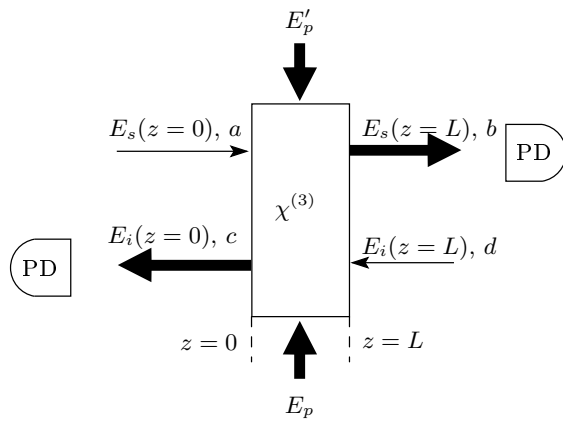


Рис. 7. Схема фотодетектирования квазимохроматического сигнала с предварительным усилением с помощью четырехвольнового смешения

шения в нелинейной среде объема  $V_{amp}$ , обладающей кубической нелинейностью ( $\chi^{(3)}$ ). Две интенсивные волны накачки ( $E_p$  и  $E'_p$ ), распространяющиеся в противоположных направлениях, смешиваются в нелинейной среде с сигнальной и холостой волнами, также противоположно направленными. Частоты четырех квазимохроматических плоских волн предполагаются равными, а интенсивности волн накачки значительно превышающими интенсивности сигнальной и холостой волн, вследствие чего моды накачки в дальнейшем будем рассматривать классически и в расчетах будем пренебрегать их истощением.

Операторы  $a$  и  $d$  представляют собой операторы

уничтожения соответственно сигнальной и холостой мод электромагнитного поля, а операторы  $c$  и  $b$  — соответственно отраженной и проходящей волн. Числа фотонов в усиливаемых в процессе вырожденного четырехвольнового смешения полей, соответствующих операторам  $c$  и  $b$ , могут быть измерены путем прямого фотодетектирования.

Уравнения движения Гейзенберга для операторов уничтожения полей,  $a(z)$  и  $d(z)$ , соответствующих сигнальному полю с начальным условием  $E_S(z=0)$  и холостому полю с начальным значением  $E_i(z=L)$  (см. рис. 7), могут быть записаны в следующем виде (см., например, [6]):

$$\frac{\partial a(z)}{\partial z} = i \frac{\chi}{c_m} pp' d^\dagger(z), \quad (29)$$

$$\frac{\partial d(z)}{\partial z} = -i \frac{\chi}{c_m} pp' a^\dagger(z), \quad (30)$$

где  $\chi \equiv \chi^{(3)} V_{amp}/\hbar$ ,  $p' = |p'| \exp(i\phi_{p'})$ , а  $p$ ,  $p'$  и  $\phi$ ,  $\phi'$  — соответственно амплитуды и фазы классических волн накачки:

$$p = |p| \exp(i\phi_p), \quad p' = |p'| \exp(i\phi_{p'}).$$

Решая уравнения (29) и (30) для любых  $z$  и полагая, ввиду рассматриваемой геометрии задачи, что  $a$  есть функция от  $z/c_m + t$ , а  $d$  — функция от  $z/c_m - t$ , находим следующие соотношения для выходных полей [6]:

$$b \equiv a(z=L) = a \sec(KL) - \zeta d^\dagger \operatorname{tg}(KL), \quad (31)$$

$$c \equiv d(z=0) = d \sec(KL) - \zeta a^\dagger \operatorname{tg}(KL), \quad (32)$$

где введены обозначения

$$a \equiv a(z=0), \quad d \equiv d(z=L), \\ \zeta \equiv i \exp[i(\phi_p + \phi_{p'})], \quad K \equiv \frac{\chi|pp'|}{c_m}. \quad (33)$$

Применяя для расчета плотности квазивероятности метод характеристической функции [9], находим для усиленного поля, характеризуемого оператором  $b$ , следующие выражения:

$$P_{out}(\beta) = \frac{1}{\pi \overline{N}} \exp\left(-\frac{|\beta - G'\alpha_0|^2}{\overline{N}}\right), \quad (34)$$

$$\overline{N} \equiv (|G'|^2 - 1)(\langle n_d \rangle + 1),$$

если сигнальная волна находится в когерентном состоянии  $|\alpha_0\rangle$ , а холостая волна — в тепловом, и

$$P_{out}(\beta) = \frac{1}{\pi \overline{N}} \exp\left(-\frac{|\beta|^2}{\overline{N}}\right), \quad (35)$$

$$\overline{N} \equiv |G'|^2 \langle n_a \rangle + (|G'|^2 - 1)(\langle n_d \rangle + 1),$$

если обе волны находятся в тепловом состоянии. Здесь  $\langle n_a \rangle$  и  $\langle n_d \rangle$  — средние числа фотонов соответственно в сигнальной и холостой модах,  $|G'| \equiv \sec(KL)$  — коэффициент усиления проходящей волны в случае вырожденного четырехволнового смешения. Если же обе волны находятся в когерентном состоянии, т. е. вектор состояния входящих волн есть  $|\alpha_0, \delta_0\rangle$ , то распределение проходящей волны имеет вид

$$P_{out}(\beta) = \frac{1}{\pi(|G'|^2 - 1)} \exp\left(-\frac{|\beta - \bar{\beta}_0|^2}{|G'|^2 - 1}\right), \quad (36)$$

$$\bar{\beta}_0 \equiv |G'| \alpha_0 - \zeta \delta_0^* \sqrt{|G'|^2 - 1}.$$

Используя выражения (31) и (32), найдем средние числа фотонов и дисперсии чисел фотонов в проходящей и отраженной волнах для различных квантовых состояний входных полей.

В случае, когда холостая мода поля находится в вакуумном состоянии  $|0\rangle$ , для произвольного состояния сигнального поля могут быть получены следующие выражения для средних чисел фотонов и флюктуаций чисел фотонов для проходящего (*b*) и отраженного (*c*) полей:

$$\langle n_b \rangle = |G'|^2 \langle n_a \rangle + \mu', \quad (37)$$

$$\langle n_c \rangle = (|G'|^2 - 1) \langle n_a \rangle + \mu', \quad (38)$$

$$\langle (\Delta n_b)^2 \rangle = |G'|^4 \langle (\Delta n_a)^2 \rangle + |G'|^2 \mu' \langle n_a \rangle + |G'|^2 \mu', \quad (39)$$

$$\langle (\Delta n_c)^2 \rangle = (|G'|^2 - 1)^2 \langle (\Delta n_a)^2 \rangle + |G'|^2 \langle n_c \rangle, \quad (40)$$

где  $\mu' \equiv \operatorname{tg}^2(KL)$  — среднее число спонтанно излученных фотонов в проходящей волне. Сравнивая соотношения (39) и (28), нетрудно убедиться, что формула для флюктуаций числа фотонов проходящего поля в случае четырехволнового смешения полностью аналогична формуле для флюктуаций числа фотонов поля на выходе линейного усилителя. При этом для одного и того же значения коэффициента усиления  $|G| = |G'|$  среднее значение числа спонтанных фотонов для линейного усилителя ( $\mu$ ) совпадает с соответствующей величиной для четырехволнового смешения ( $\mu'$ ) при полной инверсии активной среды линейного усилителя.

Если холостая волна или/и сигнальное поле находится в тепловом состоянии, характеризующемся оператором плотности  $\rho_T$ , средние величины удовлетворяют соотношениям

$$\langle n_b \rangle = |G'|^2 \langle n_a \rangle + (|G'|^2 - 1) \langle n_d \rangle + \mu', \quad (41)$$

$$\begin{aligned} \langle (\Delta n_b)^2 \rangle &= |G'|^4 \langle (\Delta n_a)^2 \rangle + (|G'|^2 - 1)^2 \langle (\Delta n_d)^2 \rangle + \\ &+ |G'|^2 (|G'|^2 - 1) \times \\ &\times [\langle n_a \rangle \langle n_b \rangle + (\langle n_a \rangle + 1) (\langle n_d \rangle + 1)], \end{aligned} \quad (42)$$

при этом формулы для  $\langle n_c \rangle$  и  $\langle (\Delta n_c)^2 \rangle$  получаются из выражений (41) и (42) путем перестановки индексов  $a \leftrightarrow d$ . Среднее число фотонов в сигнальной моде,  $\langle n_a \rangle$ , может быть найдено из уравнения (41) путем подстановки в него измеренного значения  $\langle n_b \rangle$  при заданном значении среднего числа фотонов в холостой моде,  $\langle n_d \rangle$ .

Анализ отношения сигнал/шум с использованием в выражении (19) формул (41) и (42) показывает, что для больших коэффициентов усиления  $|G'|^2 \gg 1$  и тепловых состояний обоих входящих полей это отношение равно  $R = 1$ . Если же сигнальная волна находится в тепловом состоянии, а холостая волна — в когерентном, то при условии, что  $\langle n_d \rangle \gg \langle n_a \rangle$ ,  $\langle n_d \rangle \gg 1$ ,  $\eta \approx 1$ , получим

$$R = 1 + \frac{\langle n_d \rangle}{2(\langle n_a \rangle + 1)} \gg 1. \quad (43)$$

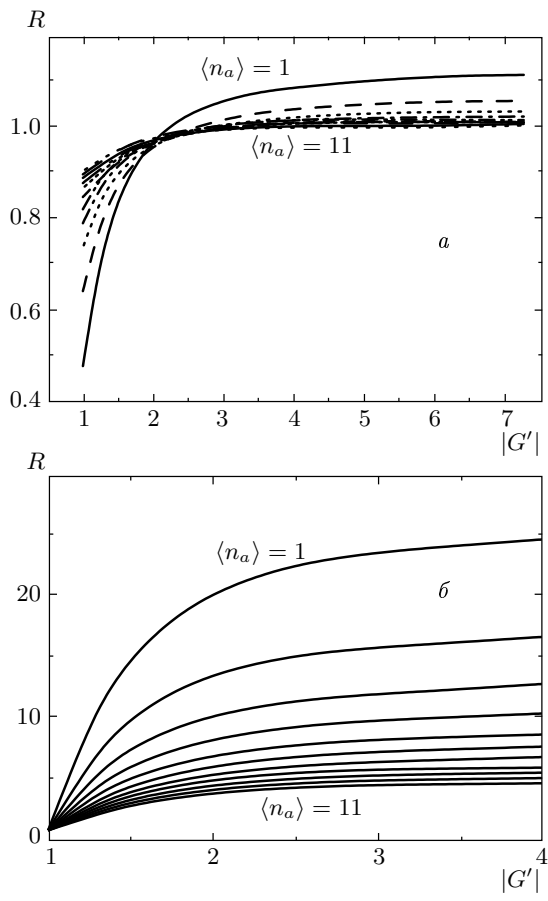
Формула (43) показывает, что для малых значений среднего числа фотонов в сигнальном поле использование сильной когерентной холостой волны позволяет получить большое отношение сигнал/шум фототока, превышающее отношение сигнал/шум измеряемого сигнала, которое меньше единицы. На рис. 8 приведены зависимости  $R$  от модуля коэффициента усиления при различных средних числах фотонов в тепловой сигнальной и когерентной холостой модах для  $\eta = 0.9$ , иллюстрирующие отмеченные выше зависимости. Из рисунка видно, что в отличие от случая линейного усиления, рассмотренного в предыдущем разделе, при больших значениях коэффициента усиления отношение сигнал/шум будет наибольшим при наименьших средних числах фотонов в сигнальном поле в случае как малого, так и большого среднего числа фотонов в холостой моде.

Если же сигнальная волна находится в когерентном состоянии, а холостая — в тепловом, то достижение высокого отношения сигнал/шум становится невозможным для малых чисел фотонов. В данном случае получаем

$$R = 1 + \frac{\langle n_a \rangle^2}{\langle n_d \rangle^2} \approx 1 \quad (44)$$

при  $\langle n_d \rangle \gg \langle n_a \rangle$ ,  $\langle n_d \rangle \gg 1$ ,  $\eta \approx 1$  и

$$R = 1 + \frac{\langle n_a \rangle}{2(\langle n_d \rangle + 1)} \gg 1 \quad (45)$$



**Рис. 8.** Зависимости отношения сигнала/шум от величины модуля коэффициента усиления при четырехвольновом смешении для тепловой сигнальной и когерентной холостой волн при  $\eta = 0.9$ ,  $\langle n_d \rangle = 1$  (а) и  $\langle n_d \rangle = 100$  (б),  $\langle n_a \rangle = 1, 2, \dots, 11$ . При  $\langle n_a \rangle \rightarrow \infty$  величина  $R \rightarrow 1$

при  $\langle n_a \rangle \gg \langle n_d \rangle$ ,  $\langle n_a \rangle \gg 1$ ,  $\eta \approx 1$ . Это означает, что в данном случае большое отношение сигнал/шум достижимо только для сильной сигнальной волны в когерентном состоянии. Отметим также, что в этом случае, если  $\langle n_d \rangle \approx \langle n_a \rangle$ , опять  $R \approx 1$ .

Если же сигнальная и холостая волны обе находятся в когерентных состояниях, соответственно  $|\alpha\rangle$  и  $|\delta\rangle$ , то для средних величин находим

$$\langle n_b \rangle = |G'|^2 \langle n_a \rangle + (|G'|^2 - 1) \langle n_d \rangle + \mu' - 2\sqrt{|G'|^2 (|G'|^2 - 1) \langle n_a \rangle \langle n_d \rangle} \cos \Phi, \quad (46)$$

где  $\Phi \equiv \phi_a + \phi_d - \phi_p - \phi_{p'} - \pi/2$ ,  $\phi_a$  и  $\phi_d$  — фазы соответственно сигнальной и холостой мод. Для флюктуаций числа фотонов в проходящей моде получаем

$$\begin{aligned} \langle (\Delta n_b)^2 \rangle &= |G'|^4 \langle (\Delta n_a)^2 \rangle + (|G'|^2 - 1)^2 \langle (\Delta n_d)^2 \rangle + \\ &+ \mu'(\mu' + 1) [\langle n_d \rangle + \langle n_a \rangle + 1] - 2(2|G'|^2 - 1) \times \\ &\times \sqrt{|G'|^2 (|G'|^2 - 1) \langle n_a \rangle \langle n_d \rangle} \cos \Phi, \end{aligned} \quad (47)$$

формулы для  $\langle n_c \rangle$  и  $\langle (\Delta n_c)^2 \rangle$  опять могут быть получены путем перестановки  $a \leftrightarrow d$  в выражениях (43) и (44).

Как показано на рис. 9, при росте величины  $\langle n_a \rangle$  и при  $\langle n_d \rangle < \langle n_a \rangle$  значение  $R$  убывает, а при  $\langle n_d \rangle > \langle n_a \rangle$  возрастает монотонно, если  $\Phi = 2m\pi$ ,  $m$  — любое целое число. Вследствие такой закономерности отношение сигнал/шум принимает большие значения при малом числе фотонов в измеряемом поле (рис. 10а). В то же время, если выполнено условие фазового согласования вида  $\Phi = (2m + 1)\pi$ ,  $m$  — любое целое число, зависимость  $R$  от среднего числа фотонов  $\langle n_a \rangle$  имеет иной характер. Как видно на рис. 10б, величина  $R$  монотонно возрастает с увеличением  $\langle n_a \rangle$ .

Используя соотношение (47), нетрудно убедиться, что при больших значениях коэффициента усиления  $|G'|^2 \gg 1$  и при выполнении условия фазового согласования  $\Phi = 2m\pi$ ,  $m$  — любое целое число, среднее число фотонов есть

$$\langle n_b \rangle \approx |G'|^2 \left[ \left( \sqrt{\langle n_a \rangle} - \sqrt{\langle n_d \rangle} \right)^2 + 1 \right], \quad (48)$$

откуда, в частности, следует, что если интенсивности сигнальной и холостой волн равны между собой, то среднее число фотонов проходящей волны равно квадрату коэффициента усиления:  $\langle n_b \rangle \approx |G'|^2$ . Флюктуации числа фотонов при этом составляют

$$\langle (\Delta n_b)^2 \rangle \approx 2|G'|^4 \langle n_b \rangle - |G'|^4. \quad (49)$$

Из выражений (47) и (49) следует, что флюктуации числа фотонов всегда значительно превышают уровень дробового шума (суперпуассоновская статистика усиленного поля).

Зависимости отношения сигнала/шум от среднего числа фотонов в сигнальной моде для разных значений среднего числа фотонов в холостой моде при  $|G'|^2 \gg 1$  приведены на рис. 11 для фазовых соотношений  $\Phi = (2m + 1)\pi$  и  $\Phi = 2m\pi$ . Как следует из рис. 11а, при  $\Phi = (2m + 1)\pi$  отношение сигнал/шум монотонно возрастает с ростом среднего числа фотонов в холостой моде,  $\langle n_{Im} \rangle$ . В то же время вследствие эффекта, описанного выше (формулы (48), (49)), зависимость отношения сигнала/шум от средних чисел фотонов при  $\Phi = 2m\pi$  приобретает сложный немонотонный характер. Как следует из формул (48) и (49), флюктуации числа фотонов приближаются к

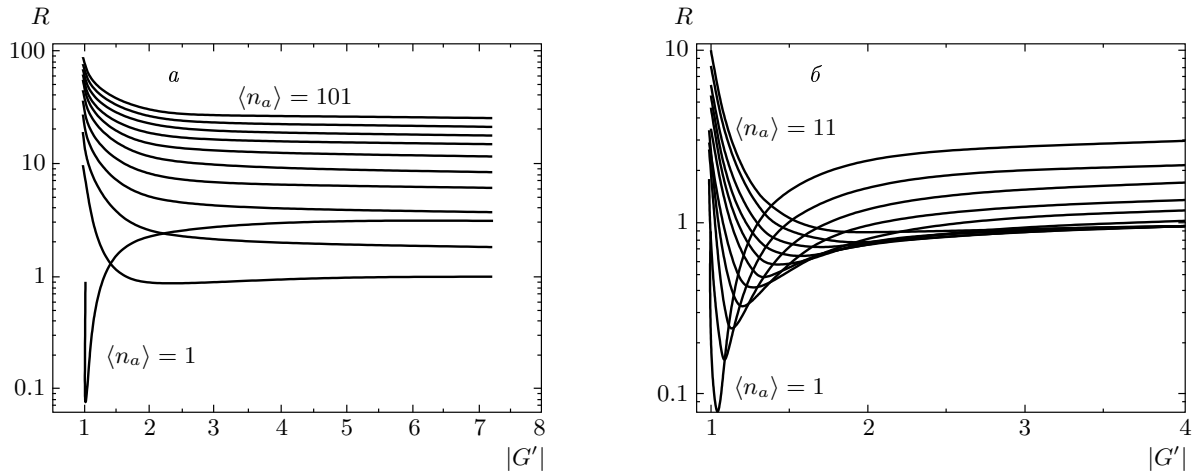


Рис. 9. То же, что на рис. 8, для когерентных сигнальной и холостой волн при  $\Phi = 2\pi m$  ( $m$  — любое целое число),  $\langle n_d \rangle = 10$ ,  $\langle n_a \rangle = 1, 11, 21, \dots, 101$  (а) и  $\langle n_a \rangle = 1, 2, \dots, 11$  (б)

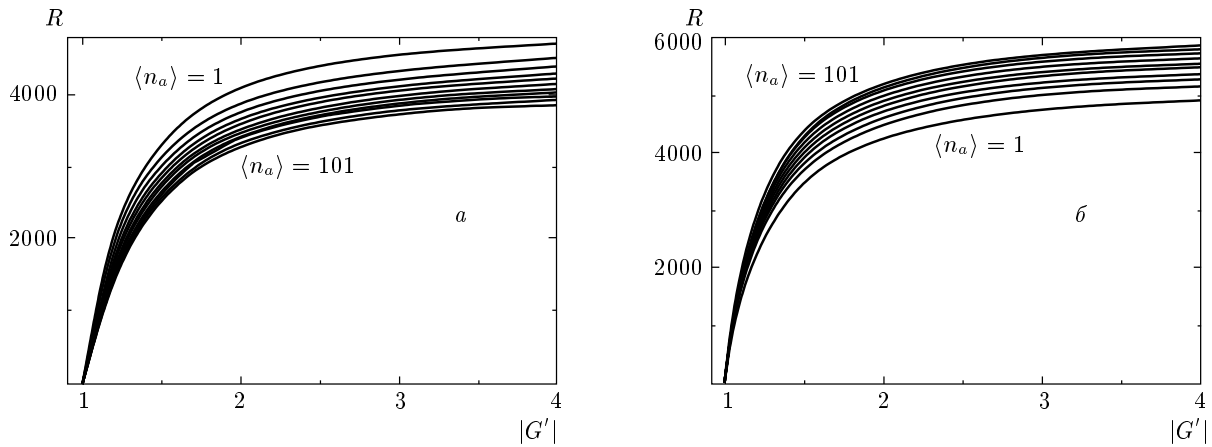


Рис. 10. То же, что на рис. 9, для  $\langle n_d \rangle = 10000$ ,  $\langle n_a \rangle = 1, 11, 21, \dots, 101$ ,  $\Phi = 2\pi m$  (а) и  $\Phi = (2m + 1)\pi$  (б),  $m$  — любое целое число

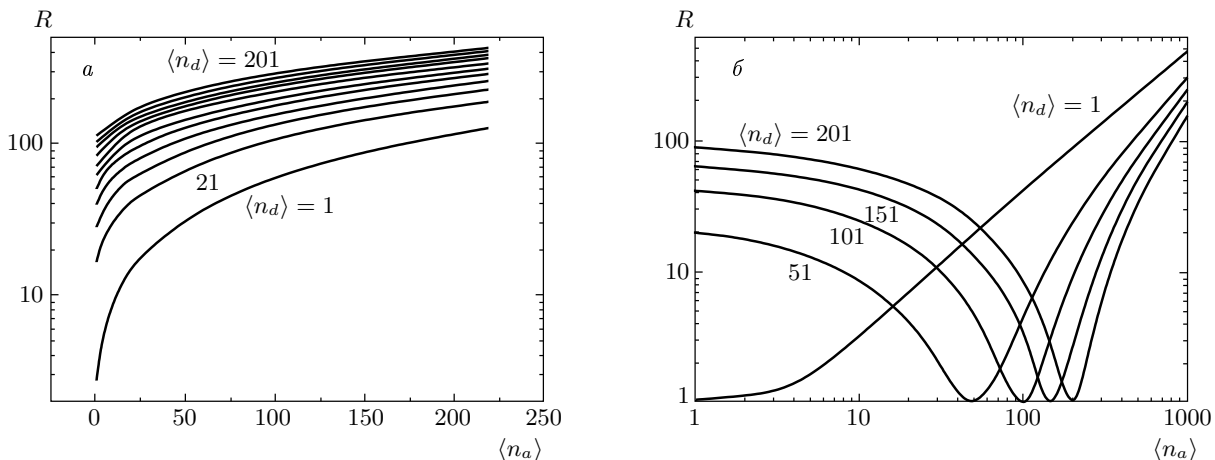
тепловым при равенстве средних чисел фотонов в сигнальной и холостой волнах, как видно на рис. 11б, при этом отношение сигнал/шум составляет величину, равную единице.

#### 4. ЗАКЛЮЧЕНИЕ

Квантовомеханический анализ статистики прямого фотодетектирования усиленного сигнала показал, что линейный лазерный усилитель неприменим при детектировании слабых сигналов, содержащих несколько фотонов (меньше или порядка десяти). В данном случае при больших коэффициентах усиления результат единичного измерения фотото-

ка оказывается неотличимым от результата измерения в случае вакуумного состояния на входе усилителя или теплового фонового поля. Детектирование непрерывных слабых сигналов возможно лишь в случае чрезвычайно высокой точности измерения фототока детектора (ошибка около 1%). Число фотонов в сигнале, для которого при разумной точности возможно надежное измерение его статистических свойств, составляет величину больше или порядка ста фотонов в объеме измерения.

Анализ фотодетектирования сигнала, усиливающегося в схеме четырехвольнового смешения, показал, что слабый сигнал (соответствующий одному или нескольким фотонам) может быть измерен с высокой точностью. При этом оказывается, что точ-



**Рис. 11.** Зависимость отношения сигнал/шум от среднего числа фотонов в сигнальной моде для четырехволнового смешения для когерентных сигнальной и холостой волн при различных значениях среднего числа фотонов в холостой моде при  $|G'|^2 \gg 1$ ,  $\eta = 0.9$ : *a* —  $\langle n_d \rangle = 1, 21, 41, \dots, 201$ ,  $\Phi = (2m+1)\pi$ ; *б* —  $\langle n_d \rangle = 1, 51, 101, 151, 201$ ,  $\Phi = 2m\pi$

нность измерения, характеризующаяся отношением сигнал/шум фототока детектора, качественно зависит от интенсивности и квантово-статистических свойств холостой волны. Смешение когерентного сигнала в четырехвольновой схеме усиления с холостой волной в произвольном квантовом состоянии способно повысить отношение сигнал/шум фототока. Если же измеряемое поле находится в хаотическом (тепловом) квантовом состоянии, то для увеличения отношения сигнал/шум необходимо использование когерентной холостой волны. Принципиально важным при этом оказывается фазовое согласование четырех когерентных волн, участвующих в нелинейном процессе. В частности, если сумма фаз четырех взаимодействующих волн равна  $\Phi \approx 2\pi m + \pi/2$ , где  $m$  — любое целое число, и интенсивности сигнальной и холостой волн равны между собой, то отношение сигнал/шум усиленного поля оказывается чрезвычайно низким (около единицы), в то же время большое отношение сигнал/шум возможно при условии  $\Phi \approx \pi(2m+1) + \pi/2$ . Установлено также, что при фазовом согласовании вида  $\Phi \approx 2\pi m + \pi/2$  и при равенстве интенсивностей сигнальной и холостой волн интенсивность выходного излучения не зависит от интенсивности исходного сигнала, поступающего на вход усилителя, и определяется лишь величиной коэффициента усиления среды. В таких условиях вместо усиления сигнала может иметь место его рассеяние с передачей энергии от сигнальной и холостой волн в волны накачки.

В заключение отметим, что достаточные для уверенного измерения слабых сигналов шумовые харак-

теристики присущи также нелинейному лазерному усилителю. Как показано в работе [10], путем выбора оптимальной длины (или времени) усиления флуктуации, вносимые спонтанным излучением в процессе нелинейного усиления с насыщением, могут быть уменьшены существенно по сравнению со случаем линейного усиления.

В недавно вышедшей из печати статье [11] рассмотрен подход к процессу фотодетектирования слабых сигналов света, альтернативный стандартному подходу, используемому нами. В указанной работе предложена новая схема лазерного детектирования на основе связанных электронов детектора. Предполагаемое в этих условиях отсутствие фотоотсчетов означает, в рамках развиваемой в работе [11] теории, подавление дробового шума в детекторе.

Работа выполнена при частичной поддержке Программы государственной поддержки ведущих научных школ РФ (грант № НШ-1512.2003.2).

## ЛИТЕРАТУРА

1. P. A. Hiskett, J. M. Smith, G. S. Buller, and P. D. Townsend, Electron. Lett. **37**, 1081 (2001).
2. A. J. Miller, S. W. Nam, J. M. Martines, and A. V. Sergienko, Appl. Phys. Lett. **83**, 791 (2003).
3. V. Zwicker, T. Aichele, and O. Benson, New J. Phys. **6**, 96 (2004).
4. C. M. Caves, Phys. Rev. D **26**, 1817 (1982).

5. S.-K. Choi, M. Vasilyev, and P. Kumar, Phys. Rev. Lett. **83**, 1938 (1999).
6. Л. Мандель, Э. Вольф, *Оптическая когерентность и квантовая оптика*, Физматлит, Москва (2000).
7. Р. Глаубер, в кн. *Квантовая оптика и квантовая радиофизика*, под ред. К. де Витт, А. Бландена, К. Коэн-Таннуджи, Мир, Москва (1966), с. 91.
8. J. A. Vaccaro and D. T. Pegg, Phys. Rev. A **49**, 4985 (1994).
9. B. R. Mollow and R. J. Glauber, Phys. Rev. **160**, 1076 (1967).
10. А. В. Козловский, А. Н. Ораевский, ЖЭТФ **109**, 1524 (1996).
11. В. П. Быков, УФН **175**, 495 (2005).